

отвечает угол наклона $\delta = 90^\circ$, а крайним левым точкам кривых — углы $\delta_1 = 14^\circ$, $\delta_2 = 34^\circ$, $\delta_3 = 79^\circ$. Это означает, что, например, при $q = 10^9 \text{ Вт}/\text{м}^2$ течение будет устойчивым по отношению к бесконечно малым плоским возмущениям при наклоне, меньшем 14° . А при $q > 2,01 \cdot 10^9 \text{ Вт}/\text{м}^2$ (для $q = 2,01 \cdot 10^9 \text{ Вт}/\text{м}^2$ нейтральная кривая вырождается в точку) течение будет устойчивым вплоть до вертикального положения пленки.

Поступила 14 III 1983

ЛИТЕРАТУРА

1. Афанасьев Ю. В., Крохин О. П. Газодинамическая теория воздействия излучения лазера на конденсированные вещества. — Тр. ФИАН. Квантовая радиофизика, 1970, т. 52.
2. Линь Цзя-цзяо. Теория гидродинамической устойчивости. М.: ИЛ, 1958.
3. Кочин Н. Е., Кибель П. А., Розе Н. В. Теоретическая гидромеханика. Ч. 2. М.: Физматгиз, 1963.
4. Варгафтик И. Б. Теплофизические свойства веществ. М.—Л.: Гос. энерг. изд., 1956.
5. Чиркин В. С. Теплофизические свойства материалов ядерной техники. М.: Атомиздат, 1968.

УДК 532.526.2

РАСЧЕТ ТЕЧЕНИЙ РАСПЛАВА В АМПУЛЕ

B. B. Кузнецов

(Новосибирск)

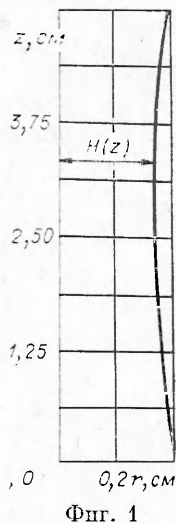
В настоящее время возникла задача определения распределения примеси легирующей добавки при кристаллизации в условиях пониженного тяготения. Физические особенности таких процессов рассмотрены в [1—3]. Для решения этой задачи необходимо знать поле скоростей течения расплава. В ряде работ [4, 5] предложены схемы расчета этой задачи в основном для умеренных чисел Рейнольдса и Марангони.

В данной работе предлагается асимптотическая схема стационарной термокапиллярной конвекции в цилиндрической ампуле при больших числах Рейнольдса и Марангони; такая ситуация реализуется при достаточно больших перепадах температуры вдоль боковой стенки ампулы и малой вязкости расплава. Течение состоит из совокупности пограничных слоев Прандтля и Марангони, которые сопрягаются с ядром течения. Оссесимметричное циркуляционное течение в ядре рассчитано на основе схемы Прандтля — Бэтчелора. По указанной схеме произведен расчет термокапиллярной конвекции расплава в ампуле.

1. Рассматривается задача определения поля скоростей термокапиллярной конвекции расплава в цилиндрической ампуле при направленной кристаллизации в условиях отсутствия силы тяжести. Область течения изображена на фиг. 1. Объемное сжатие полупроводниковых материалов при расплавлении обусловливает наличие в ампуле пустот, которые предполагаются распределенными вдоль боковой стенки ампулы. Течение полагается ламинарным, стационарным и осесимметричным. Предположение стационарности объясняется тем, что время кристаллизации всей ампулы обычно составляет несколько часов, поэтому скорость продвижения фронта кристаллизации имеет порядок $10^{-4} \text{ см}/\text{с}$, что существенно меньше скорости термокапиллярной конвекции при достаточно большом перепаде температуры вдоль ампулы.

При сделанных предположениях течение описывается системой уравнений Навье — Стокса

$$(1.1) \quad \begin{aligned} uu_r + uw_z &= -\frac{p_r}{\rho} + v \left(u_{rr} + \frac{1}{r} u_r - \frac{1}{r^2} u + u_{zz} \right), \\ uw_r + ww_z &= -\frac{p_z}{\rho} + v \left(w_{rr} + \frac{1}{r} w_r + w_{zz} \right), \\ u_r + \frac{1}{r} u + w_z &= 0, \end{aligned}$$



Фиг. 1

где u , w — поперечная и продольная компоненты вектора скорости. На фронте кристаллизации $z = L$ и на дне ампулы $z = 0$ заданы условия прилипания

$$(1.2) \quad u = w = 0,$$

а на свободной боковой поверхности $r = H(z)$ условия

$$(1.3) \quad p = p_0 + 2\sigma K + 2\rho v \mathbf{n} \cdot \mathbf{D} \cdot \mathbf{n}, \quad 2\rho v s \cdot \mathbf{D} \cdot \mathbf{n} = \partial \sigma / \partial s, \quad w H_z = u,$$

где s , \mathbf{n} — векторы касательной и внешней нормали к поверхности $r = H(z)$; D — тензор скоростей деформации расплава; ρ , v — плотность и коэффициент кинематической вязкости; K — средняя кривизна поверхности $r = H(z)$; коэффициент поверхностного натяжения $\sigma = \sigma_0 = \sigma_T(T - T_0)$, где $\sigma_T = d\sigma/dT = \text{const}$. Температура вдоль боковой поверхности расплава предполагается заданной функцией координаты z .

2. Для решения задачи (1.1)–(1.3) выделим в области, занятой расплавом, характерные зоны. Известно, что при достаточно больших градиентах температуры вдоль свободной поверхности можно выделить пограничный слой Марангони, математическая модель которого дана в [6]. Кроме того, будем выделять пограничные слои вблизи фронта кристаллизации и дна ампулы. Все три погранслоя сопрягаются с основным ядром течения расплава. Предположим, что свободная поверхность расплава $r = H(z)$ слабо искривлена, т. е. $(dH/dz)^2 \ll 1$. Это предположение согласуется с тем, что у многих полупроводниковых материалов, например у германия, углы касания и роста близки соответственно к π и $\pi/2$. При сделанных предположениях второе из условий (1.3) позволяет оценить характерную скорость V движения расплава в погранслое Марангони. Это условие приближенно может быть записано в виде $\rho v w_r = |\sigma_T| dT/dz$. Заменяя производные на их средние значения $w_r = V/\delta$, $dT/dz = \Delta T/L$, где толщина погранслоя Марангони $\delta = L/\sqrt{\text{Re}}$, ΔT — перепад температуры вдоль боковой поверхности, число Рейнольдса $\text{Re} = LV/v$, получим для характерной скорости значение

$$(2.1) \quad V = (|\sigma_T| \Delta T / \rho v)^{2/3} (vL)^{1/3}.$$

Интенсивность течения Марангони можно оценить с помощью числа Марангони $M = |\sigma_T| \Delta T L / \rho v^2$, которое представляет собой отношение термокапиллярных сил к вязким. Взяв значение перепада температуры равным 100° и значение материальных констант соответствующим расплавленному германию, получим значение M порядка 10^6 . Формула (2.1) дает характерное значение скорости V порядка 5 см/с.

Предположим, что основное ядро течения расплава, с которым сопрягаются течения всех трех пограничных слоев, представляет собой предельное при $\text{Re} \rightarrow \infty$ течение с замкнутыми линиями тока. Введем безразмерные величины по формулам $z = LZ$, $r = aR$, $u = UV$, $w = WV$, где a — радиус ампулы. Как показано в [7], единственная ненулевая компонента вихря η в этом случае удовлетворяет соотношению $\eta = C_1 R$, где C_1 — некоторая постоянная. Введя функцию тока ψ так, что $U = (1/R)\partial\psi/\partial Z$, $W = -(1/\lambda R)\partial\psi/\partial R$, получим задачу для нахождения функции тока

$$(2.2) \quad \lambda^2 \frac{\partial^2 \psi}{\partial Z^2} + \frac{\partial^2 \psi}{\partial R^2} - \frac{1}{R} \frac{\partial \psi}{\partial R} = CR^2, \quad \lambda = a/L, \quad C = C_1 a^2 / V$$

с граничным условием

$$(2.3) \quad \psi|_{\Gamma} = 0, \quad \text{где } \Gamma \text{ — граница квадрата } 0 \leq R \leq 1, \quad 0 \leq Z \leq 1.$$

Решение задачи (2.2), (2.3) дается формулой

$$(2.4) \quad \psi = C \sum_{k=1}^{\infty} \frac{2R J_1(\lambda_k R)}{J_2(\lambda_k) \lambda_k^2} \left(\frac{\exp(\lambda_k(Z-1)/\lambda) + \exp(-\lambda_k Z/\lambda)}{1 + \exp(-\lambda_k/\lambda)} - 1 \right),$$

где J_1 и J_2 — функции Бесселя 1-го рода порядка 1 и 2 соответственно; числа λ_k ($k = 1, 2, \dots$) — нули функции J_1 . Постоянная C , от которой зависит решение задачи (2.2), (2.3), ниже будет определяться численно.

3. В безразмерных переменных задача для пограничного слоя Марангони вблизи свободной боковой поверхности запишется в виде

$$(3.1) \quad u_1 \frac{\partial w_1}{\partial r_1} + w_1 \frac{\partial u_1}{\partial z_1} = -\frac{\partial p_1}{\partial z_1} + \frac{\partial^2 w_1}{\partial r_1^2},$$

$$\begin{aligned} \partial u_1 / \partial r_1 + \partial w_1 / \partial z_1 &= 0, \quad \partial p_1 / \partial r_1 = \\ &= 0, \quad 0 < z_1 < 1, \quad 0 < r_1 < \infty \end{aligned}$$

с краевыми условиями

$$(3.2) \quad \begin{aligned} \frac{\partial w_1}{\partial r_1} &= d\theta/dz_1, \\ p_1 &= P_0 + P_1 h, \quad P_0 = \sigma/\rho V^2 a, \quad P_1 = \sigma\delta/\rho V^2 a^2, \\ w_1 \partial h / \partial z_1 &= u_1 \quad \text{при } r_1 = h(z_1), \quad w_1 \rightarrow W(1, z_1) \quad \text{при } r_1 \rightarrow \infty. \end{aligned}$$

Формально задача (3.1), (3.2) может быть получена введением безразмерных переменных $r_1, z_1, u_1, w_1, p_1, h, \theta$ по формулам $r = a - \delta r_1$, $H = a - \delta h$, $u = -\varepsilon V u_1$, $w = V w_1$, $z = L z_1$, $p = p_0 + \rho V^2 p_1$, $T = T_0 + \Delta T \theta$ подстановкой в задачу (1.1)–(1.3) и удержанием членов одного порядка. Здесь $\varepsilon = 1/\sqrt{\text{Re}}$. Градиент давления находится из интеграла Бернулли, если применить его к ядру течения [7]. Таким образом, $\partial p_1 / \partial z_1 = -W(1, z_1) \partial W(1, z_1) / \partial z_1$.

Особенностью задачи (3.1), (3.2) является то, что в отличие от задачи (1.1)–(1.3) положение свободной границы может быть найдено независимо от нахождения компонент скорости u_1, w_1 , так как второе условие (3.2) можно использовать для нахождения функции $h(z_1)$. Физически это означает, что в пограничном приближении капиллярные силы играют главную роль при определении формы свободной поверхности. Запишем задачу (3.1), (3.2) в переменных Мизеса z_1, ψ_1 :

$$(3.3) \quad \frac{\partial \omega}{\partial z_1} = \sqrt{-\frac{\partial^2 \omega}{\partial \psi_1^2}} - 2 \frac{\partial p_1}{\partial z_1};$$

$$(3.4) \quad \partial \omega / \partial \psi_1 = 2d\theta / dz_1 = A(z_1) \quad \text{при } \psi_1 = 0;$$

$$(3.5) \quad \omega \rightarrow W^2(1, z_1) \quad \text{при } \psi_1 \rightarrow \infty,$$

где $\omega = w_1^2; u_1 = \partial \psi_1 / \partial z_1; w_1 = -\partial \psi_1 / \partial r_1$.

Выделим пограничные слои у фронта кристаллизации и у дна ампулы. Введя безразмерные величины r_0, z_0, p_1, u_0, w_0 по формулам $r = a(1 - r_0)$, $z = L - \varepsilon a z_0$, $u = -V u_0$, $w = -\varepsilon V w_0$ и удерживая в системе уравнений (1.1) после подстановки члены одного порядка, получим

$$\begin{aligned} \frac{\partial u_0}{\partial r_0} - \frac{u_0}{1 - r_0} + \frac{\partial w_0}{\partial z_0} &= 0, \\ u_0 \frac{\partial u_0}{\partial r_0} + w_0 \frac{\partial u_0}{\partial z_0} &= -\frac{\partial p_1}{\partial r_0} + \frac{\partial^2 u_0}{\partial z_0^2}, \quad \frac{\partial p_1}{\partial z_0} = 0 \end{aligned}$$

с граничными условиями

$$u_0 = w_0 = 0 \quad \text{при } z_0 = 0, \quad u_0 \rightarrow U(1 - r_0, 1) \quad \text{при } z_0 \rightarrow \infty.$$

Из интеграла Бернулли $\partial p_1 / \partial r_0 = -U(1 - r_0, 1) \partial U(1 - r_0, 1) / \partial r_0$. Полученная задача имеет особенность при $r_0 \rightarrow 1$. Используя (2.4), можно заметить, что $\partial p_1 / \partial r_0 = O(1 - r_0)$. Если положить, что $\partial p_1 / \partial r_0 = \alpha^2(1 - r_0)$, то автомодельное решение может иметь вид

$$u_0 = -\alpha(1 - r_0) d\varphi(\xi) / d\xi, \quad w_0 = -\sqrt{2\alpha} \varphi(\xi), \quad \xi = z_0 / \sqrt{2\alpha},$$

Для отыскания функции φ получим задачу

$$(3.6) \quad d^3\varphi/d\xi^3 + \varphi d^2\varphi/d\xi^2 + (1/2)(1 - (d\varphi/d\xi)^2) = 0,$$

$$\varphi = d\varphi/d\xi = 0 \text{ при } \xi = 0, \quad d\varphi/d\xi \rightarrow 1 \text{ при } \xi \rightarrow \infty.$$

Как показано в [8], задача (3.6) имеет единственное решение. Таким образом, можно ожидать, что при $r_0 \rightarrow 1$ $u_0 = O(1 - r_0)$, $w_0 = O(1)$. Введя переменные Мизеса q , r_0 , ψ_0 по формулам $\partial\psi_0/\partial z_0 = (1 - r_0)u_0$, $\partial\psi_0/\partial r_0 = -(1 - r_0)w_0$, получим задачу

$$(3.7) \quad \frac{\partial q}{\partial r_0} = (1 - r_0)^2 \sqrt{q} \frac{\partial^2 q}{\partial \psi_0^2} - 2 \frac{\partial p_1}{\partial r_0}$$

с граничными условиями

$$(3.8) \quad q = 0 \text{ при } \psi_0 = 0, \quad q \rightarrow U^2(1 - r_0, 1) \text{ при } \psi_0 \rightarrow \infty.$$

Проведя аналогичное разложение, получим задачу для нахождения скорости в пограничном слое, примыкающем к дну ампулы. Положив $r = ar_2$, $z = \varepsilon az_2$, $u = Vu_2$, $w = \varepsilon Vw_2$, $p = \rho V^2 p_2$, причем $r_2 u_2 = \partial\psi_2/\partial z_2$, $r_2 w_2 = -\partial\psi_2/\partial r_2$, $v = u_2^2$, получим задачу

$$(3.9) \quad \frac{\partial v}{\partial r_2} = r_2^2 \sqrt{v} \frac{\partial^2 v}{\partial \psi_2^2} - 2 \frac{\partial p_2}{\partial r_2}$$

с граничными условиями

$$(3.10) \quad v = 0 \text{ при } \psi_2 = 0, \quad v \rightarrow U^2(r_2, 0) \text{ при } \psi_2 \rightarrow \infty.$$

4. Все полученные выше задачи становятся определенными, если известна постоянная C из (2.4). Для определения C заметим, что для стационарного жидкого объема Ω с границей Σ справедливо энергетическое тождество

$$(4.1) \quad \int_{\Sigma} \mathbf{t} \cdot \mathbf{v} d\Sigma = 2\rho v \int_{\Omega} D : D d\Omega,$$

где \mathbf{t} — вектор напряжения; \mathbf{v} — вектор скорости жидкости на границе Σ ; D — тензор скоростей деформации. Используя граничные условия (1.2), (1.3), первое слагаемое тождества (4.1), обозначенное I , запишем в виде

$$I = \frac{1}{\varepsilon} \pi \rho v V^2 \int_0^1 \sqrt{\bar{\omega}} |_{\psi_1=0} A(z_1) dz_1,$$

Диссиацию энергии будем подсчитывать по всем выделенным зонам жидкого объема. В ядре течения диссипативная функция $\chi_3 = D : D$ будет равна

$$\begin{aligned} \chi_3 &= V^2 \left\{ \left(\frac{\partial U}{\partial R} \right)^2 + \left(\frac{U}{R} \right)^2 + \left(\lambda \frac{\partial W}{\partial z} \right)^2 + \frac{1}{2} \left(\frac{\partial W}{\partial R} + \lambda \frac{\partial U}{\partial Z} \right)^2 \right\} / a^2 = \\ &= V^2 \left\{ \left(\frac{\partial U}{\partial R} + \frac{U}{R} + \lambda \frac{\partial W}{\partial Z} \right)^2 - 2 \left(\lambda \frac{\partial U}{\partial R} \frac{\partial W}{\partial Z} + \frac{U}{R} \frac{\partial U}{\partial R} + \right. \right. \\ &\quad \left. \left. + \lambda \frac{U}{R} \frac{\partial W}{\partial Z} \right) + \frac{1}{2} \left(\frac{\partial W}{\partial R} - \lambda \frac{\partial U}{\partial Z} \right)^2 + 2\lambda \frac{\partial U}{\partial Z} \frac{\partial W}{\partial R} \right\} / a^2 = \\ &= V^2 \left(\frac{C^2 R^2}{2\lambda} + \frac{2U^2}{R^2} + 2\lambda \frac{\partial W}{\partial R} \frac{\partial U}{\partial Z} - 2\lambda \frac{\partial U}{\partial R} \frac{\partial W}{\partial Z} \right) / a^2. \end{aligned}$$

После интегрирования χ_3 по области ядра получим, что диссиляция энергии в ядре течения

$$I_3 = 4\pi \rho v V^2 \left\{ \frac{C^2}{6\lambda} + 2 \int_0^1 \int_0^1 \left(\frac{U}{R} \right)^2 dZ dR \right\}.$$

Путем несложных преобразований можно получить, что диссипация энергии в пограничных слоях у фронта кристаллизации, у дна ампулы и возле свободной поверхности равна соответственно

$$I_0 = \frac{1}{2\varepsilon} \pi \rho v V^2 \int_0^1 \int_0^\infty \frac{(1-x)(\partial q(x, \psi)/\partial \psi)^2}{V_q} d\psi dx,$$

$$I_2 = \frac{1}{2\varepsilon} \pi \rho v V^2 \int_0^1 \int_0^\infty \frac{x(\partial v(x, \psi)/\partial \psi)^2}{V_v} d\psi dx,$$

$$I_1 = \frac{1}{2\varepsilon} \pi \rho v V^2 \int_0^1 \int_0^\infty \frac{(\partial \omega(x, \psi)/\partial \psi)^2}{V_\omega} d\psi dx.$$

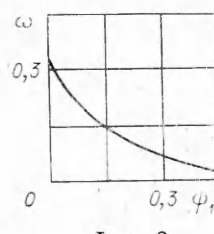
Преобразуем интеграл из последнего равенства, используя (3.3), (3.4):

$$\begin{aligned} \int_0^1 \int_0^\infty (\omega_\psi)^2 / V_\omega d\psi dx &= 2 \int_0^1 \int_0^\infty (\partial(V_\omega \omega_\psi)/\partial \psi - V_\omega \omega_{\psi\psi}) d\psi dx = \\ &= 2 \int_0^1 V_\omega \omega_\psi |_{\psi=0} dx - 2 \int_0^1 \int_0^\infty \partial(\omega - W(1, x))/\partial x d\psi dx = \\ &= 2 \int_0^1 V_\omega |_{\psi=0} A(x) dx - 2 \int_0^\infty (\omega - W(1, x))|_0^1 d\psi. \end{aligned}$$

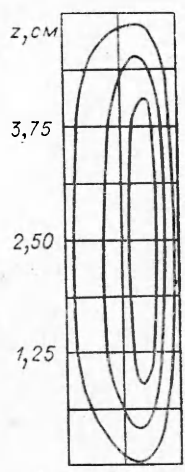
Подставляя полученные соотношения в (4.1), получим уравнение для отыскания постоянной C :

$$(4.2) \quad F(C) = \frac{2\varepsilon C^2}{3\lambda} + 8\varepsilon \int_0^1 \int_0^\infty \left(\frac{U}{R} \right)^2 dR dz - \int_0^\infty (\omega - W(1, x))|_0^1 d\psi + \\ + \frac{1}{2} \int_0^1 \int_0^\infty \left\{ \frac{(1-x)(q_\psi)^2}{V_q} + \frac{x(v_\psi)^2}{V_v} \right\} d\psi dx = 0.$$

Численный счет производился по следующей схеме: постоянной C придавалось первоначальное значение $C = 5$, по формуле (2.4) находилось течение в ядре, затем численно решались задачи (3.3)–(3.5); (3.7), (3.8); (3.9), (3.10), после чего подсчитывалась левая часть уравнения (4.2) и значение постоянной C корректировалось с помощью метода деления отрезка пополам. Через восемь итераций с точностью до 10^{-3} процесс сходился к значению $C = 0,136$. Материальные постоянные ρ , σ , σ_t , v выбирались соответствующими расплавленному германию при $T = 937^\circ\text{C}$, температура вдоль боковой стенки полагалась распределенной по параболе с вершиной у дна ампулы и перепадом температуры $\Delta T = 100^\circ$. Размеры ампулы выбирались $L = 5$ см, $a = 0,4$ см. Малое значение постоянной C показывает, что интенсивное движение расплава происходит только в очень тонком (порядка 10^{-2} радиуса) слое, примыкающем к свободной поверхности. На фиг. 2 изображено затухание квадрата продольной скорости в пограничном слое Марангони при удалении от свободной поверхности в сечении ампулы плоскостью, равноудаленной от дна ампулы и фронта кристаллизации. На фиг. 3 изображены линии тока в ядре



Фиг. 2



Фиг. 3

течения. Заметно сгущение линий тока у границ, что оправдывает использование погранслойного приближения.

Автор выражает благодарность В. В. Пухначеву за постановку задачи и за ценные советы и обсуждения.

Поступила 4 II 1983

ЛИТЕРАТУРА

1. Авдуевский В. С., Гришин С. Д., Лесков Л. В. О физических особенностях направленной кристаллизации в невесомости.— В кн.: Научные чтения по авиации и космонавтике. М.: Наука, 1981.
2. Markov E. V. et al. The influence of space conditions on directional crystallization of germanium in space.— In: Proceedings of Symposium. Grenoble ESA-CNES-CEA. Paris, 1979.
3. Анисимов Н. Ю., Лесков Л. В., Савичев В. В. Особенности направленной кристаллизации расплава в условиях невесомости.— ТВТ, 1982, № 2.
4. Авдуевский В. С., Бармин Н. В., Гришин С. Д. и др. Проблемы космического производства. М.: Машиностроение, 1980.
5. Полежаев В. П., Федюкин А. И. Гидродинамические эффекты концентрационного расслоения в замкнутых областях.— Изв. АН СССР. МЖГ, 1980, № 3.
6. Napolitano L. G. Marangoni boundary layers.— In: Proc. 3rd European Symp. on Material Science in Space. Grenoble, ESA, SP-142, 1979.
7. Batchelor G. K. On steady laminar flow with closed streamlines at large Reynolds number.— J. Fluid Mech., 1956, vol. 1, N 1.
8. Хартман Ф. Обыкновенные дифференциальные уравнения. М.: Мир, 1970.

УДК 534.222.2

ВЗРЫВ СФЕРИЧЕСКОГО ЗАРЯДА В МАГНИТНОМ ПОЛЕ

В. П. Коробейников, Б. В. Путятин

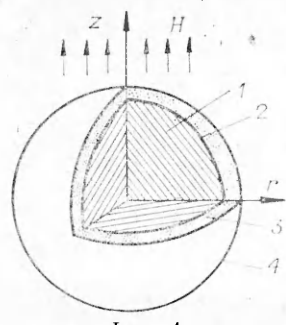
(Москва)

При исследовании многих явлений, например нестационарных течений космического вещества, а также в практических приложениях, например при создании взрывных МГД-генераторов, возникает необходимость изучения взаимодействия взрывных волн с магнитным полем. В [1] даны постановки и решения некоторых задач о взрыве с учетом влияния магнитного поля для случая точечного взрыва.

В [2] рассмотрена задача о взрыве цилиндрического заряда конденсированного ВВ в газе при наличии внешнего магнитного поля. В настоящей работе изучается аналогичная задача для заряда сферической формы. Основное отличие этой задачи с математической точки зрения от предыдущего случая состоит в том, что решение ее зависит от двух пространственных координат (r, z в цилиндрической системе координат) и времени t , т. е. задача становится двумерной. Схема возникающего течения показана на фиг. 1, где 1 — продукты детонации, 2 — контактная поверхность, 3 — ударно-сжатый газ, 4 — ударная волна.

Взаимодействие с магнитным полем происходит в результате движения нагретого ударной волной электропроводного газа поперек силовых линий магнитного поля. При этом течение будет отличаться от сферически-симметричного, которое имеет место в отсутствие поля. В частности, форма контактной поверхности, ограничивающей продукты детонации, и форма возникающей в окружающем газе ударной волны будут постепенно исказяться, вытягиваясь в направлении силовых линий магнитного поля.

Задача решалась в приближении малых магнитных чисел Рейнольдса R_m (в расчетах $R_m \leq 0,1$), при этом не учитываются деформации начального магнитного поля. При учете потерь на излучение использовалось также приближение объемного высвечивания. Продукты детонации считаются неэлектропроводными [3] и неизлучающими. Детонационная волна инициируется в центре заряда. Вплоть до момента выхода волны на поверхность заряда решение является ав-



Фиг. 1